

ارزیابی قابلیت اطمینان شبکه هوشمند با در نظر گیری ارتباط

غیرمستقیم شبکه سایبری بر شبکه قدرت در حضور منابع تولید پراکنده

امیر رضا حسنی آهنگر، حسین عسکریان ابیانه، همایون حائری

دانشکده مهندسی برق

دانشگاه صنعتی امیرکبیر

تهران

hassaniahangar@aut.ac.ir, askarian@aut.ac.ir, haeri@tavanir.org.ir

واژه‌های کلیدی — شبکه هوشمند، قابلیت اطمینان، ارتباط شبکه سایبری (شبکه کنترل، پایش و حفاظت) و قدرت، انرژی توزیع نشده مورد انتظار، تولیدات پراکنده.

۱. مقدمه

در سالیان اخیر با استفاده از منابع تولید پراکنده (DG) و رشد روزافزون آنها در سیستم‌های قدرت، این نوع منابع مورد توجه بسیاری قرار گرفته است. از محسن استفاده از منابع تولید پراکنده می‌توان به کاهش تلفات، آزادسازی ظرفیت انتقال و به تاخیر انداختن طرح‌های انتقال اشاره نمود [۱]. DG‌ها علاوه بر عملکرد عادی خود و متصل به شبکه قدرت، می‌توانند در زمان‌هایی که قسمتی از شبکه توزیع دچار قطعی می‌شود به صورت جزیره‌ای وارد عمل شوند و خاموشی‌های تحمیلی به مشترکین را به مقدار قابل ملاحظه‌ای کاهش دهند [۲].

با توجه به پیچیدگی‌های استفاده از منابع تولید پراکنده در شبکه‌های توزیع استفاده از شبکه‌هایی با قابلیت‌های رؤیت پذیری، پایش، کنترل و حفاظت هوشمند اجتناب ناپذیر است.

شبکه هوشمند انرژی الکتریکی شبکه‌ای است که جریان دوسویه انرژی الکتریکی و اطلاعات را با کمک بسترها مخابراتی با قابلیت جمع‌آوری اطلاعات، پایش، پردازش و کنترل فراهم می‌کند. از اهداف ایجاد این شبکه کاهش هزینه‌ها و افزایش راندمان است. هم‌چنین افزایش قابلیت اطمینان هم از موارد مهم در این نوع شبکه‌ها بوده و توجه ویژه‌ای به این موضوع می‌شود. از مزایای شبکه هوشمند می‌توان به قابلیت خودترمیمی، مشارکت

چکیده — استفاده از زیرساخت‌ها و تجهیزات مخابراتی در شبکه‌های هوشمند توزیع انرژی الکتریکی سبب شده است تا سیستمی مشکل از شبکه قدرت و شبکه سایبری (شبکه‌های کنترل، مانیتورینگ و حفاظت) ایجاد شود. در شبکه هوشمند، عملکرد سیستم قدرت بستگی زیادی به سیستم‌های مخابراتی دارد. این تجهیزات شامل سیستم‌های مانیتورینگ و حفاظت بوده که در شبکه‌های فوق توزیع نقش مهمی را ایفا می‌کنند. هر کدام از این تجهیزات می‌توانند اثرات متفاوتی بر روی شبکه قدرت داشته باشند. ارتباط این سیستم‌ها با شبکه قدرت به صورت ارتباط مستقیم و غیرمستقیم تقسیم‌بندی می‌شوند. در ارزیابی قابلیت اطمینان شبکه هوشمند باید روشی مورداستفاده قرار گیرد که شامل عملکرد مناسب هر دو سیستم سایبری و قدرت باشد. در این مقاله روشی نوین برای ارزیابی شاخص‌های قابلیت اطمینان شبکه‌های هوشمند با در نظر گیری ارتباط و خطاهای غیرمستقیم شبکه سایبری بر روی شبکه قدرت بر اساس روش تحلیلی ارائه می‌گردد. در این نوع ارتباط، در اثر عدم عملکرد تجهیز سایبری نرخ خرابی عناصر شبکه قدرت تغییر خواهد کرد. هم‌چنین یک مدل به روزرسانی حالات ارائه خواهد شد تا قابلیت اطمینان شبکه‌های سایبری- قدرت را تحت ارتباط غیرمستقیم ارزیابی کند. روش پیشنهادی بر روی شبکه هوشمند نمونه که یک پست H فشارقوی می‌باشد اعمال خواهد شد تا اثرات روش پیشنهادی را نشان دهد. هم‌چنین در حضور منابع تولید پراکنده و بار مصرفی متغیر (منحنی بار) نیز به بررسی روش ارائه شده و تحلیل مناسب با آن پرداخته خواهد شد.

پرداخته و راه حلی برای محاسبه کمی شاخص‌های قابلیت اطمینان شبکه‌های هوشمند ارائه نکرده‌اند.

برای مطالعات کمی شاخص‌های ارزیابی ریسک شبکه‌های هوشمند با در نظرگیری خطاهای شبکه سایبری از مراجع [۷, ۹] می‌توان نام برد. روش بیان شده در این مراجع با یکدیگر مشابه بوده و تفاوت آن‌ها در نوع ارتباط میان دو شبکه سایبری و قدرت است. هم‌چنین منابع تولید پراکنده مورد استفاده در مراجع فوق از نوع قابل کنترل و با ظرفیت ثابت می‌باشد.

مراجع [۷] مفهوم ارتباط مستقیم را معرفی می‌کند و دو نوع از این ارتباط را بررسی می‌کند. اولین نوع ارتباط المان به المان مستقیم است که در نقاطی تعریف می‌شود که دو شبکه سایبری و قدرت را به هم متصل می‌کند. دومین ارتباط، ارتباط شبکه-المان است. این حالت زمانی رخ می‌دهد که خرابی در شبکه مخابرایی ویژگی‌های تجهیزات در شبکه قدرت را تغییر می‌دهد. نگاشت حالات که در این مقاله به آن اشاره شده است برای ارزیابی قابلیت اطمینان سیستم‌های Cyber-power که ارتباط مستقیم در آن‌ها مطرح است استفاده می‌شود.

۲. کاربردهای ارتباط غیرمستقیم در تجهیزات

سیستم قدرت

در این بخش دو کاربرد از ارتباط غیرمستقیم در شبکه هوشمند که شامل مانیتورینگ (پایش) و حفاظت است معرفی خواهد شد.

۲.۱. سیستم‌های مانیتورینگ (پایش)

سیستم‌های مانیتورینگ (پایش) در شبکه قدرت به جمع‌آوری و گزارش دهی انواع داده‌ها به مرکز کنترل محلی و دور (Remote) سیستم قدرت می‌پردازد. این سیستم‌ها فرست پیش‌بینی، دریافت، انجام عکس‌عمل‌های سریع در برابر خطاهای احتمالی را فراهم می‌آورد، درنتیجه این کار به کاهش نرخ خرابی و زمان تعییر می‌انجامد [۱۰].

سیستم‌های مانیتورینگ شرایط سالم کار پایدار شبکه، وضعیت تجهیزات سیستم و ولتاژ باس‌ها را بررسی می‌کنند. هم‌چنین به تحلیل اطلاعات ثبت شده، فرستادن آن‌ها به مرکز کنترل و دریافت دستورات از سرورهای شبکه هوشمند می‌پردازند [۱۱].

۲.۲. سیستم‌های حفاظتی

خطاهای در سیستم‌های قدرت شرایط نامطلوب را نشان می‌دهد که به دلیل خرابی تجهیز و یا حوادث طبیعی مانند صاعقه رخ می‌دهد. موضوعی

صرف‌کنندگان و کاهش آلوگی‌های زیست‌محیطی بر اساس امکان استفاده حداکثری از منابع تولید پراکنده تجدید پذیر اشاره نمود [۳].

فناوری‌های شبکه هوشمند استفاده از اتوماسیون و ارتباط داده‌ها را از طریق تجهیزات مخابرایی هوشمند در سیستم‌های بزرگ قدرت فراهم می‌سازند. شبکه هوشمند یک شبکه سایبری-قدرت (Cyber-power) است که از دو جز متمایز شبکه سایبری و شبکه قدرت تشکیل شده است. هر شبکه استانداردها و پروتکل‌های خاص خود را دارد و به وسیله قوانین فیزیکی مربوط به خود اداره می‌شود [۴].

درصورتی که به کارگیری از شبکه سایبری در سیستم‌های قدرت افزایش یابد، خرابی‌های مربوط به تجهیزات هوشمند و تأثیر آن‌ها بر روی سیستم قدرت به یک مسئله جدی تبدیل می‌شود. گزارش خاموشی‌ها تأیید می‌کند که عملکرد نادرست تجهیزات شبکه سایبری مانند کنترل، پایش و حفاظت عوامل مهمی در پایین آمدن سطح قابلیت اطمینان و پایداری شبکه قدرت هستند. از این‌رو در مطالعات ارزیابی ریسک شبکه‌های هوشمند باید راهکارهایی در نظر داشت که اثرات خطاهای شبکه سایبری بر روی شبکه قدرت پوشش داده شود [۵].

ارتباط میان دو شبکه به‌طورکلی به این معناست که عملکرد صحیح و مناسب یکی از اجزای سیستم به وجود و کارکرد صحیح اجزای دیگر شبکه بستگی دارد. یک خرابی در شبکه سایبری ممکن است از جهات گوناگون بر شبکه قدرت تأثیرگذار باشد [۶] ارتباط میان دو شبکه سایبری و قدرت می‌تواند به دو صورت مستقیم و غیرمستقیم تعریف شود که بر اساس چگونگی تأثیرگذاری بر روی اجزا شبکه قدرت بیان می‌شود.

تأثیر ارتباط غیرمستقیم بر روی قابلیت اطمینان سیستم قدرت متفاوت و پیچیده‌تر از ارتباط از نوع مستقیم است. ارتباط غیرمستقیم به معنای خرابی گروهی از المان‌ها در یک شبکه است که به‌طور آنی و مستقیم باعث خرابی و یا تغییر رفتار المان در شبکه دیگر نشوند. اما این خرابی بر روی عملکرد اجزا مدار در خرابی‌های احتمالی بعدی تأثیرگذار است. با توجه به این تعریف، خرابی‌های احتمالی جز ارتباط‌های غیرمستقیم قرار می‌گیرند [۷].

مراجع [۶, ۸] به بررسی و تعریف ارتباط میان شبکه سایبری و قدرت پرداخته است. در مقاله ذکر شده نیاز به شبکه سایبری در شبکه هوشمند را مورد بررسی قرار می‌دهد. سپس در ادامه حالت‌های مختلف نگاشت خطای از شبکه سایبری به شبکه قدرت را بیان می‌کند. بر این اساس چهار نوع ارتباط میان دو شبکه تعریف شده وجود دارد. البته لازم به ذکر است مراجع [۸, ۶] به بیان کیفی اصول و مفاهیم کلی ارتباط بین شبکه‌های سایبری و قدرت

۳. فرمولاسیون مسئله

۳.۱. ارتباط سایبر-قدرت غیرمستقیم

در ارتباط غیرمستقیم، لینک سایبر-قدرت به وسیله رابطه (۱) نشان داده می شود.

$$\Gamma = (\gamma : \delta) \quad (1)$$

که نشان دهنده یک ارتباط غیرمستقیم میان عنصر سایبری γ و تجهیز شبکه قدرت δ است. رابطه (۱) به این معناست که اگر المان سایبری γ عمل نکند و یا اطلاعات داده های ارسالی را دریافت نکند، بر روی عملکرد تجهیز قدرت در برابر خرابی احتمالی تأثیر خواهد گذاشت. در ابتدا فرض می شود که المان سایبری به طور مناسبی کار کند، در دسترس پذیری تجهیز قدرت با درنظرگیری عملکرد المان سایبری به صورت رابطه (۲) بیان می شود.

$$A_\delta = \frac{\mu_\delta}{\lambda_\delta + \mu_\delta} \quad (2)$$

که در آن λ_δ و μ_δ به ترتیب نرخ خرابی و نرخ تعمیر می باشند. حال زمانی که ارتباط غیرمستقیم میان γ و δ وجود داشته باشد. اگر المان سایبری از کار بیفتند، نرخ خرابی و نرخ تعمیر المان قدرت δ به ترتیب برابر $\hat{\lambda}_\delta$ و $\hat{\mu}_\delta$ خواهد شد. با خرابی المان سایبری نرخ خرابی عنصر قدرت افزایش می یابد و مقدار نرخ تعمیر کم می شود. به طور مشابه، در دسترس پذیری المان قدرت δ بدون عملکرد عنصر سایبری γ در رابطه (۳) محاسبه شده است.

$$\hat{A}_\delta = \frac{\hat{\mu}_\delta}{\hat{\lambda}_\delta + \hat{\mu}_\delta} \quad (3)$$

به بیانی دیگر، ارتباط غیرمستقیم موجود میان عنصر سایبری γ و تجهیز قدرت δ در دسترس پذیری المان قدرت δ را در صورت عدم عملکرد صحیح المان سایبری γ از مقدار A_δ به \hat{A}_δ کاهش می دهد.

۳.۲. ارزیابی قابلیت اطمینان شبکه سایبر-قدرت با در

نظرگیری ارتباط غیرمستقیم

روش پیشنهادی دارای سه مرحله است. در مرحله اول جدول احتمال حالات (P-table) تولید می شود. در مرحله دوم، به روز رسانی احتمال حالات مختلف با استفاده از روش تحلیلی انجام می شود تا مقدار نرخ خرابی و نرخ تعمیر یک المان در شبکه قدرت مناسب با تأثیرپذیری آن از تجهیز

که حائز اهمیت بوده شناسایی و برطرف نمودن خرابی های سیستم است. هم چنین بتواند به طور مناسبی نسبت به آن عکس العمل نشان دهد. سیستم های حفاظت معمولاً از رله های حفاظتی و شبکه های مخابراتی داده تشکیل شده اند. که وجود آن ها برای عملکرد تجهیزات حفاظتی ضروری است [۱۲].

خرابی ها در بیشتر نقاط سیستم های حفاظت تا زمانی که اغتشاشی در شبکه قدرت رخ ندهد نامعلوم می ماند مانند اتصال کوتاه یا اضافه بار که در آن خرابی های پنهان مشخص می شود و باعث بیرون رفتن تجهیز مرتبط با آن می شود. وجود خرابی های پنهان در سیستم های حفاظت قابلیت اطمینان سیستم را کاهش می دهد [۱۳].

۲.۳. انواع ارتباط غیرمستقیم

۱. ارتباط غیرمستقیم المان به المان (IEEI): موقعی وجود خواهد داشت که خرابی ها بر روی تجهیزات شبکه سایبری که به طور فیزیکی به تجهیز قدرت متصل هستند رخ بددهد. به طور مثال اگر خرابی در تجهیز مانیتورینگ و یا حفاظت رخ دهد، باعث می شود عنصر قدرتی که به آن متصل است از کار بیفتند.

۲. ارتباط غیرمستقیم شبکه-المان (INEI): زمانی وجود خواهد داشت که خرابی ها بر روی المان های شبکه سایبری که به طور مستقیم به شبکه قدرت متصل هستند رخ نمی دهد. این نوع ارتباط در درون شبکه سایبری اتفاق می افتد و بر روی عملکرد المان قدرت در برابر خرابی احتمالی تأثیرگذار است. به طور نمونه اگر داده هی مخابراتی که حاوی اطلاعات از سرور مربوطه است به تجهیز مانیتورینگ و یا حفاظت نرسد منجر به عمل نکردن عنصر مربوطه در زمان لازم می شود [۶].

بر این اساس روش تحلیلی ارزیابی قابلیت اطمینان برای این مسئله جهت مدل سازی ارتباط غیرمستقیم میان شبکه سایبری و قدرت پیشنهاد می شود. ایده و فرمولاسیون به روز رسانی حالت ها ناشی از خرابی ها در شبکه سایبری ارائه شده است. با درنظر گیری به روز رسانی حالات خرابی، تحلیل دو شبکه به هم پیوسته امکان پذیر می شود.

جدول ۱: حالات ارتباط غیرمستقیم شبکه سایبری و قدرت

| | | |
|--|--|----------|
| $\phi_{i,\gamma} = 1, \phi_{i,\delta} = 1$ | خرابی در هر دو عنصر شبکه سایبری و قدرت رخ داده است. | ϕ_i |
| $\phi_{j,\gamma} = 1, \phi_{j,\delta} = 0$ | خرابی در عنصر شبکه سایبری رخ داده است ولی در شبکه قدرت رخ نداده است. | ϕ_j |

اگر خرابی در عنصر سایبری تاثیری بر روی نرخ خرابی و تعمیر تجهیز شبکه قدرت نداشته باشد، احتمال حالتی که هر دو عنصر خراب شوند برابر

است با:

$$Pr_{\phi_i} = U_\gamma \times \frac{\lambda_\delta}{\lambda_\delta + \mu_\delta} \quad (6)$$

که در رابطه بالا U_γ برابر عدم دسترس پذیری عنصر سایبری γ است. همچنین احتمال حالت دوم نیز مطابق با رابطه (7) بدست می‌آید.

$$Pr_{\phi_j} = U_\gamma \times \frac{\mu_\delta}{\lambda_\delta + \mu_\delta} \quad (7)$$

از طرفی دیگر زمانی که ارتباط غیرمستقیم میان المان سایبری و عنصر قدرت وجود داشته باشد، احتمال حالتی که هر دو عنصر به طور همزمان خراب باشند برابر است با:

$$Pr^{\text{new}}_{\phi_i} = U_\gamma \times \frac{\hat{\lambda}_\delta}{\hat{\lambda}_\delta + \hat{\mu}_\delta} \quad (8)$$

و

$$Pr^{\text{new}}_{\phi_j} = U_\gamma \times \frac{\hat{\mu}_\delta}{\hat{\lambda}_\delta + \hat{\mu}_\delta} \quad (9)$$

با مقایسه روابط (6) و (8) و با در نظر گیری $\hat{\lambda}_\delta > \lambda_\delta$ و $\hat{\mu}_\delta < \mu_\delta$ می‌توان نتیجه گرفت که $Pr^{\text{new}}_{\phi_i} > Pr_{\phi_i}$ است. همچنین می‌توان گفت که احتمال خراب شدن دو عنصر γ و λ از دوشبکه، زمانی که ارتباط غیرمستقیم میان آنها وجود دارد نسبت به زمانی که دو عنصر از هم مستقل هستند (رابطه‌ای میان آنها وجود ندارد) محتمل‌تر است.

اختلاف میان دو رابطه (6) و (8) به وسیله به روز رسانی حالت مورد نظر مدل می‌شود.

$$Pr^{\text{new}}_{\phi_i} = Pr_{\phi_i} + \zeta \times Pr_{\phi_j} \quad (10)$$

که در رابطه (10)، پارامتر ζ بیان کننده ضریب به روز رسانی حالت است. حال اگر در معادله بالا مقادیر هریک از طرفین را جایگذاری کنیم می‌توان معادله (11) را بدست آورد.

$$U_\gamma \times \frac{\hat{\lambda}_\delta}{\hat{\lambda}_\delta + \hat{\mu}_\delta} = U_\gamma \times \frac{\lambda_\delta}{\lambda_\delta + \mu_\delta} + \zeta \times U_\gamma \times \frac{\mu_\delta}{\lambda_\delta + \mu_\delta} \quad (11)$$

از معادله بالا می‌توان مقدار ζ را بدست آورد.

ساایبری به روز شود. درواقع حالاتی که در آن‌ها ارتباط شبکه سایبری و قدرت وجود دارد احتمال آن‌ها تغییر می‌کند. بعد از این مرحله، مقدار بار قطع شده (LC) در سیستم قدرت برای تمامی حالات ممکن محاسبه می‌شود. بر اساس مقادیر بار قطع شده کل، شاخص‌های قابلیت اطمینان سیستم اندازه‌گیری می‌شوند. در ادامه هر کدام از این مراحل به صورت کامل توضیح داده می‌شود.

P-table تشکیل

اساس الگوریتم پیشنهادی پیدا نمودن بازدایی پیش‌بینی شده در شبکه سایبری - قدرت است. به این منظور اطلاعات مورد نیاز باید از حالات مختلف سیستم جمع‌آوری شده و در P-table ثبت شود. جدول احتمال از سه جز تشکیل می‌شود: شاخص i ، حالات سیستم ϕ_i و احتمال حالات ϕ_i . هر حالت ϕ_i یک آرایه باینری است که در آن هر المان در دسترس بودن و یا نبودن یک حالت تجهیز را در شبکه سایبری و قدرت بیان می‌کند. (رابطه ۴)

$$\phi_i = (\phi_{i,1}, \phi_{i,2}, \dots, \phi_{i,N_c + N_p}) \quad (4)$$

که در آن $\phi_{i,k}$ وضعیت المان k در حالت i می‌باشد. اگر $\phi_{i,k} = 0$ باشد، آنگاه المان k در حالت i در شرایط کارکرد صحیح خود است. اگر $\phi_{i,k} = 1$ باشد، المان k در حالت i خراب (عدم عملکرد صحیح) است. با توجه به این‌که شبکه سایبری و قدرت به ترتیب دارای N_c و N_p المان است، طول ϕ_i برابر $N_c + N_p$ است. زمانی که تمام المان‌ها دو حالت فرض شوند، احتمال حالت i ام از رابطه (5) محاسبه می‌شود [۱۴].

$$Pr_{\phi_i} = \prod_{k=1}^{N_c + N_p} A_k^{(1-\phi_{i,k})} U_k^{\phi_{i,k}} \quad (5)$$

در رابطه بالا، A_k و U_k به ترتیب نشان دهنده در دسترس پذیری و در دسترس ناپذیری المان k ام می‌باشد.

به روز رسانی حالات

به روز رسانی حالات زمانی اتفاق می‌افتد که یک خرابی در یک المان شبکه سایبری بر روی عملکرد تجهیز قدرت در برابر خرابی‌های احتمالی در شبکه قدرت تأثیرگذار باشد.

زمانی که یک خرابی در عنصر مخابراتی رخ می‌دهد، مقادیر نرخ خرابی و نرخ تعمیر تجهیزات قدرت مربوط به آن تغییر می‌کنند و باید به روز رسانی شوند. در صورت عدم عملکرد یک عنصر در شبکه مخابراتی مقدار نرخ خرابی تجهیز قدرت بالا رفته و نرخ تعمیر پایین می‌آید. خرابی عنصر مخابراتی سبب می‌شود دو حالت مطابق جدول (۱) به وجود بیاید.

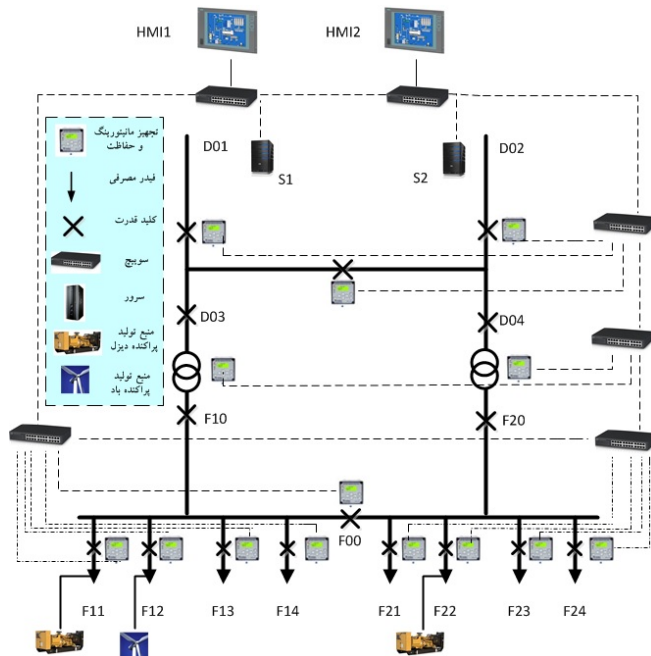
کیلوولت، برای هر کدام از فیدرهای خروجی نیز یک بربکر درنظر گرفته می شود. جدول (۲) اجزای پست فوق توزیع را بیان می کند.

جدول ۲: اجزای پست فوق توزیع [۱۱]

| معنی | بی (Bay) |
|--------------------------------------|---------------------------------|
| فیدر ورودی ۲۳۰ کیلوولت، ۱۰۰km.۲۰۰MVA | D01,D02 |
| باس کوپلر ۲۳۰kV | D00 |
| کلید قدرت سمت HV ترانس | D03,D04 |
| کلید قدرت سمت LV ترانس | F10,F20 |
| باس کوپلر ۶۲ kV | F00 |
| فیدرهای خروجی ۶۳kv ، ۵۰MVA | F11,F12,F13,F14,F21,F22,F23,F24 |

تجهیزات مانیتورینگ در این پست نصب شده اند و تمامی اندازه گیری ها، حوادث و اغتشاشات به واحدهای پایش، کنترل و هم چنین حفاظت فرستاده می شوند.

در سیستم قدرت تمامی بربکرهای ترانسفورمرها و خطوط انتقال دارای نرخ خرابی غیر صفر هستند. علاوه بر آن، در سیستم مخابرایی نیز تمامی سوییچ ها، تجهیزات حفاظتی و پایش نیز دارای احتمال خرابی می باشند. در جداول (۳) و (۴) به طور نمونه و برای استفاده در شبیه سازی این قسمت مقادیر نوعی آورده شده است.



شکل ۱: پست فوق توزیع نمونه [۱۱]

مدارشکن ها نیاز به سیستم پایش جهت عملکرد مطمئن و جلوگیری از خرابی های احتمالی دارند. فشار گاز و تعداد دفعات عملکرد دو عامل مهمی هستند که نیاز به سیستم پایش و کنترل دارند [۱۱].

$$\zeta = \frac{\hat{\lambda}_\delta(\lambda_\delta + \mu_\delta)}{(\hat{\lambda}_\delta + \hat{\mu}_\delta)\mu_\delta} - \frac{\lambda_\delta}{\mu_\delta} \quad (12)$$

با توجه به این که $\mu_\delta < \hat{\lambda}_\delta$ و $\hat{\mu}_\delta > \lambda_\delta$ می توان رابطه بالا را به صورت معادله (۱۳) بیان نمود.

$$\zeta \approx \frac{\hat{\lambda}_\delta}{\hat{\mu}_\delta} - \frac{\lambda_\delta}{\mu_\delta} \quad (13)$$

با توجه به رابطه بالا اگر خرابی در شبکه سایبری مقادیر نرخ تعمیر و خرابی در شبکه قدرت را تغییر ندهد، آن گاه $\zeta = 0$ خواهد بود.

در نهایت $Pr_{\phi_j}^{\text{new}}$ برابر می شود با:

$$Pr_{\phi_j}^{\text{new}} = (1 - \zeta) \times Pr_{\phi_j} \quad (13)$$

در مرحله بعدی باید اتصال های عناصر مختلف با یکدیگر بررسی شود و حالات خرابی عناصر مخابرایی و چگونگی تاثیر آن ها بر روی تجهیزات قدرت مورد ارزیابی قرار گیرد. سپس بر اساس آن می توان عملیات مربوط به به روز رسانی حالات خرابی تجهیزات سیستم قدرت را انجام داد. خرابی هایی که ناشی از سیستم مانیتورینگ (پایش) هستند اثرات متفاوتی نسبت به سیستم حفاظت دارند. در ادامه و در بررسی موردنی شبکه موردنی این موارد مورد بحث قرار می گیرد.

در مرحله بعد میزان بارزدایی بارها باید لحاظ شود. با استفاده از تعادل تولید و مصرف می توان میزان بارزدایی را محاسبه نمود.

$$\sum P_G = \sum P_{\text{load}} \quad (14)$$

در گام آخر می توان با استفاده از احتمال حالات و محاسبه میزان بارزدایی شاخص های قابلیت اطمینان سیستم را محاسبه نمود.

از دو شاخص EENS و LOLP جهت ارزیابی ریسک شبکه قدرت استفاده می شود. این شاخص ها به صورت زیر محاسبه می شوند [۷].

$$EENS = \sum_i P_{r_{\phi_i}} \cdot LC_i^T \quad (15)$$

$$LOLP = \sum_i P_{r_{\phi_i}} \cdot \text{sgn}(LC_i^T) \quad (16)$$

در روابط بالا LC_i^T مجموع بارزدایی در حالات مختلف است. EENS به معنای انرژی موردناتظار تأمین نشده است. (برحسب مگاوات ساعت) LOLP به معنای احتمال از دست دادن بار (بر حسب درصد) است.

۴. پیاده سازی روش بر روی شبکه نمونه

شکل (۱) یک پست فوق توزیع نمونه ۲۳۰/۶۳ کیلوولت با ساختار H را نشان می دهد [۱۱]. در این ساختار یک بربکر به هر کدام از خطوط کیلوولت و ترانس های مربوطه اختصاص داده می شود. در سطح ولتاژ ۶۳

جدول ۶: ارتباط میان تجهیز حفاظتی و سیستم قدرت

| $\hat{\mu}_\delta / \mu_\delta$ | $\hat{\lambda}_\delta / \lambda_\delta$ | $(\gamma : \delta)$ |
|---------------------------------|---|---------------------|
| ۱ | ۲ | (F11.P:F12-L) |
| ۱ | ۲ | (F11.P:F13-L) |
| ۱ | ۲ | (F11.P:F14-L) |

در نتیجه برای ارزیابی قابلیت اطمینان این شبکه سایبری - قدرت، ضریب

به روز رسانی حالت ۵ برای تمامی حالات باید محاسبه شود. به طور مثال ضریب به روز رسانی برای حالت که D04.M منجر به خرابی B D04-B می-شود به صورت زیر محاسبه می‌گردد.

با استفاده از رابطه اصلی (۱۲):

$$\zeta = \frac{8.13 * 0.037 * (0.037 + 292)}{(8.13 * 0.037 + 0.53 * 292) * 292} - \frac{0.037}{292} = 0.001813$$

و با استفاده از رابطه تقریبی (۱۳):

$$\zeta = \frac{8.13 * 0.037}{0.53 * 292} - \frac{0.037}{292} = 0.001817$$

با مقایسه اعداد بدست آمده از دو رابطه بالا تفاوت چندانی میان آن‌ها دیده نمی‌شود. به همین دلیل از رابطه تقریبی به دلیل سادگی محاسبات استفاده می‌شود.

ارزیابی قابلیت اطمینان سیستم مورد بحث در چند حالت عملکردی بررسی می‌شود و شاخص‌های تعريف شده برای آن‌ها محاسبه خواهد شد.

سناریو ۱: این سناریو یک حالت پایه است که در آن سیستم قدرت به طور کامل از تجهیزات مانیتورینگ و حفاظت بهره می‌برد. در این حالت فرض می‌شود که این تجهیزات دارای نرخ خرابی نیستند.

سناریو ۲: خرابی احتمالی تنها در سیستم مانیتورینگ درنظر گرفته می‌شود. تمامی بخش‌های دیگر شبکه مخابرایی بدون خرابی فرض می‌شوند.

سناریو ۳: در این حالت خرابی احتمالی تنها در سیستم حفاظتی درنظر گرفته شده و بقیه تجهیزات بدون نرخ خرابی فرض می‌شوند.

سناریو ۴: در سناریو آخر تجهیزات مانیتورینگ و حفاظت احتمال خرابی دارند و برای هر دو نرخ خرابی جداگانه تعريف می‌شود.

نتایج شبیه‌سازی در جدول (۷) محاسبه شده است.

جدول ۷: شاخص‌های قابلیت اطمینان در شرایط مختلف

| EENS inc.% | LOLP inc.% | EENS(P.U) | LOLP(%) | سناریو |
|------------|------------|-----------|---------|--------------------|
| - | - | .۰۲۳۶۵ | .۲۲۸۰ | ۱ (سالم بودن) |
| ۱.۸ | ۲ | .۰۰۲۴۰۸ | .۲۳۳۲ | ۲ (خرابی در M) |
| ۲.۴ | ۲ | .۰۰۲۴۲۳ | .۲۳۳۳ | ۳ (خرابی در P) |
| ۴.۵۶ | ۴.۶ | .۰۰۲۴۷۵ | .۲۳۸۵ | ۴ (خرابی در M و P) |

جدول ۳: نرخ خرابی و تعمیر اجزای سیستم قدرت

| تجهیزات | اختصار | نرخ خرابی | نرخ تعمیر |
|---------------|--------|-----------|-----------|
| مدارشکن | -B | .۰۰۳۷ | ۲۹۲ |
| ترانسفورمر | -T | .۰۰۶۸ | ۱۳۵.۹ |
| فیدرهای خروجی | -L | ۱ | ۲۹۲ |

جدول ۴: نرخ خرابی و تعمیر اجزای سیستم سایبری

| تجهیزات | اختصار | نرخ خرابی | نرخ تعمیر |
|----------------|--------|-----------|-----------|
| واحدهای حفاظتی | .P | .۰۵ | ۲۹۲ |
| واحدهای پایش | .M | ۱ | ۲۹۲ |
| سویچ | .C | .۰۵ | ۲۹۲ |

جدول (۵) دو لینک ارتباطی میان عنصر مخابرایی D04 و عنصر قدرت متناظر با آن مانند مدارشکن D04-B و ترانسفورمر D04-T را نشان می‌دهد. ارتباط‌های مشابهی می‌تواند میان برقیکرها و ترانس‌های دیگر و تجهیزات مانیتورینگ متناظر با آن‌ها تعریف شود.

جدول ۵: ارتباط میان تجهیز مانیتورینگ و سیستم قدرت [۱۱]

| $\hat{\mu}_\delta / \mu_\delta$ | $\hat{\lambda}_\delta / \lambda_\delta$ | $(\gamma : \delta)$ |
|---------------------------------|---|---------------------|
| .۰۵۳ | .۸۱۳ | (D04.M:D04-B) |
| .۰۵۴ | .۱۴۷ | (D04.M:D04-T) |

سیستم حفاظت برای خطوط و ترانسفورمرهای ۲۳۰ کیلوولت، رله‌های حفاظتی اصلی و پشتیبان درنظر گرفته می‌شوند. رله حفاظت اصلی فیدرهای خروجی ۶۳ کیلوولت را محافظت می‌کند. اگر یک خطابی رخ دهد، رله‌ها عمل کرده تا امنیت سیستم را تامین نمایند.

خرابی تجهیزات مانیتورینگ و حفاظت مربوط به رله‌ها باعث می‌شود رله پشتیبان و یا رله بالادستی عمل کند. در صورت عمل نمودن رله بالادستی، فیدرهای بیشتری از مدار خارج می‌شوند. بنابراین نرخ خرابی فیدرهای مجاور افزایش می‌یابد. برای مثال در شکل (۱) اگر یک اتصال کوتاهی در فیدر F23 رخ دهد و رله این فیدر از مدار خارج شده باشد، رله بالادستی آن یعنی F20 عمل خواهد کرد و برقیکر سمت ثانویه ترانس را قطع می‌کند. در نتیجه تمامی فیدرهای مجاور F21,F22,F24 بسی برق می‌شوند. این به معنای آن است که نرخ خرابی این فیدرهای به طور غیرمستقیم به دلیل خرابی تجهیز حفاظتی فیدر دیگر افزایش یافته است. مشابه همین حالت F12.P ارتباط غیرمستقیمی با F11-L, F13-L, F14- L دارد. جدول (۶) ارتباط میان عناصر مخابرایی و تجهیز حفاظتی متناظر را نشان می‌دهد.

منع تولید پراکنده بادی در مدار وجود داشته باشد. در حالت آخر نیز از دو

منع فوچ به صورت هیبریدی در شبکه استفاده می شود.

تحلیل نتایج جدول (۸) به صورت زیر می باشد.

۱. در حالتی که قرار است از منع تولید پراکنده تجدیدپذیر مانند توربین بادی استفاده شود، به دلیل مشخصه احتمالاتی آن بهتر است از یک منبع با ظرفیت تولید ثابت مانند دیزل ژنراتور و با میکروتوربین نیز در کنار آن نصب شود تا قابلیت اطمینان سیستم در حد مطلوبی باقی بماند.
۲. استفاده از منابع تولید پراکنده قابل کنترل و تجدیدپذیر در سیستم قدرت که در اینجا یک پست فوق توزیع مورد بررسی قرار گرفت، سبب می شود تا قابلیت اطمینان سیستم بهبود یابد.

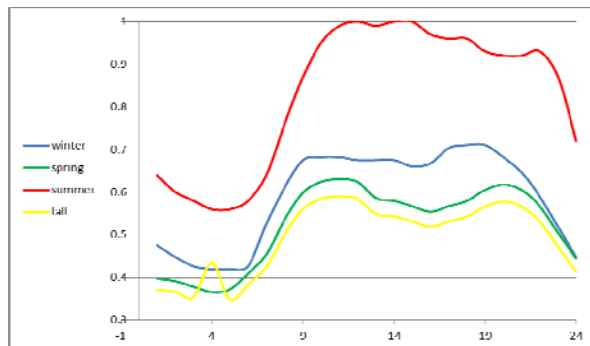
جدول ۸: شاخص های قابلیت اطمینان در حضور DG ها و بار مصرفی متغیر

| LOLP(%) | EENS(P.U) | حالت بهره برداری |
|---------|-----------|--------------------|
| ۰.۱۹۲۷ | ۰.۰۷۳۶ | دیزل ژنراتور |
| ۰.۱۹۳۰ | ۰.۰۹۵۹ | توربین بادی |
| ۰.۱۹۰۷ | ۰.۰۸۴۳ | هیبریدی (دیزل+باد) |

با مقایسه نتایج در سناریوهای مختلف مشاهده می شود:

وجود تجهیزات مانیتورینگ و حفاظت برای سیستم های سایبر-قدرت امری ضروری به نظر می رسد، و منجر به افزایش قابلیت اطمینان سیستم می شود. خرابی در سیستم حفاظت نسبت به خرابی در سیستم مانیتورینگ شاخص EENS را بیشتر تحت تاثیر قرار می دهد. (وضعیت را بدتر می کند). دلیل این امر آن است زمانی که سیستم حفاظتی از کار می افتاد، خرابی ها در فیدرهای مجاور را نتیجه می دهد که این باعث بی برقی در مشترکین زیادی می شود. هم چنین خرابی در تجهیزات مانیتورینگ، LOLP را بیشتر خراب می کند. هم چنین ستون چهارم و پنجم از جدول (۷) میزان افزایش مقادیر شاخص ها را نسبت به حالت پایه که سناریو اول است نشان می دهد.

در مرحله بعدی DG های بادی و دیزلی را وارد مدار کرده و تحلیل قابلیت اطمینان را در حضور منابع تولید پراکنده انجام می دهیم. در این قسمت بارهای مصرفی را هم به صورت متغیر مطابق با منحنی بار ساعتی در یک شبانه روز درنظر گرفته می شود.



شکل ۲: منحنی بارگیری روزانه برای فصول مختلف در یک روز نمونه [۱۵]

با توجه به پیشرفت های اخیر در تجهیزات و فناوری های شبکه های هوشمند، خرابی های شبکه سایبری و تاثیرات آن بر روی شبکه قدرت باید در نظر گرفته شوند. در این مقاله روش جدیدی برای درنظر گیری ارتباط شبکه سایبری با شبکه قدرت پیشنهاد شده است. ارتباط ذکر شده میان این دو شبکه از نوع غیرمستقیم بوده و با مدل نمودن آن و به روز رسانی حالات جدید زمانی که خرابی در شبکه سایبری رخ می دهد می توان تحلیل قابلیت اطمینان سیستم قدرت را به نحو مطلوبی انجام داد. شبکه نمونه ای که بر روی آن روش پیشنهادی پیاده سازی شده است یک پست فوق توزیع می باشد که خرابی های سیستم مانیتورینگ و حفاظت در آن درنظر گرفته شده است. نتایج نشان می دهند که خرابی در این سیستم ها قابلیت اطمینان سیستم قدرت را کاهش می دهد.

قابلیت اطمینان سیستم های قدرت با استفاده از به کار گیری تجهیزات مانیتورینگ و حفاظت بهبود می یابد. هر کدام از این تجهیزات می توانند اثرات متفاوتی بر روی شاخص های قابلیت اطمینان سیستم داشته باشند. به همین دلیل با استفاده از شاخص های عددی به ارزیابی بهبود چنین حالاتی پرداخته شد. هم چنین در حالتی که در شبکه قدرت منابع تولید پراکنده وجود داشته باشد و بار مصرفی متغیر در فیدرها درنظر گرفته شود، قابلیت

منع تولید پراکنده دیزلی دارای ظرفیت توانی ۹۰۰ کیلووات بوده که در فیدرهای F11 و F22 قرار دارتند. این منابع دارای ظرفیت توانی ثابت بوده و دارای شاخصه احتمالاتی نیستند. منع تولید پراکنده بادی نیز دارای توان نامی ۷۰۰ کیلووات بوده و دارای مشخصه توان احتمالاتی می باشد که مطابق با آنچه بیان شد میزان توان آن در ساعات مختلف محاسبه می شود. DG های ذکر شده خود دارای نرخ خرابی نیز هستند [۱۶، ۱۷].

مطابق با جدول (۸) در سه حالت مختلف می توان تحلیل قابلیت اطمینان را انجام داد. حالت اول تنها منبع دیزلی در مدار باشد. حالت دوم تنها

- [۱۵] امیر رضا حسنی آهنگر، حامد هاشمی، حسین عسکریان ایانه، "بررسی اثرات منفی احتمالی سیستم سایبری (کنترل، پایش و حفاظت) بر قابلیت اطمینان شبکه های هوشمند با افزایش ضربی نفوذ منابع تولید پراکنده تجدیدپذیر بادی (EPDC)"، بیستمین کنفرانس توزیع برق، ۲۰۱۵.
- [۱۶] ابوالفضل صدقی، محمد مهدی قاسمی پور، مریم رمضانی، "ارزیابی قابلیت اطمینان سیستم مستقل باد/فتولوژیک/ایرل/ذخیره ساز در حضور خودروهای الکتریکی (PSC)"، بیست و هشتمین کنفرانس بین المللی برق، ۱۳۹۲.
- [۱۷] داریوش بزدان پناه، کاظم عاملی، مصطفی عیدیانی، "ارزیابی اثرات اضافه شدن ۵۰۰ مگاوات واحد جدید بادی در شبکه خراسان از نظره نظر قابلیت اطمینان و پایداری شبکه"، بیست و هشتمین کنفرانس بین المللی برق، ۱۳۹۲.

۶. منابع

- [1] C. J. Dent, A. Hernandez-Ortiz, S. R. Blake, D. Miller, and D. Roberts, "Defining and Evaluating the Capacity Value of Distributed Generation," *Power Systems, IEEE Transactions on*, vol. PP, pp. 1-9, 2014.
 - [2] S. Elsaia, M. Benidris, and J. Mitra, "Analytical approach for placement and sizing of distributed generation on distribution systems," *Generation, Transmission & Distribution, IET*, vol. 8, pp. 1039-1049, 2014.
 - [3] X. Fang, S. Misra, G. Xue, and D. Yang, "Smart Grid: The New and Improved Power Grid: A Survey," *Communications Surveys & Tutorials, IEEE*, vol. 14, pp. 944-980, 2012.
 - [4] M. N. Albasrawi, N. Jarus, K. A. Joshi, and S. S. Sarvestani, "Analysis of Reliability and Resilience for Smart Grids," in *Computer Software and Applications Conference (COMPSAC), IEEE 38th Annual*, , pp. 529-534, 2014.
 - [5] M. Al-Muhaini and G. T. Heydt, "Evaluating Future Power Distribution System Reliability Including Distributed Generation," *Power Delivery, IEEE Transactions on*, vol. 28, pp. 2264-2272, 2013.
 - [6] B. Falahati and F. Yong, "A study on interdependencies of cyber-power networks in smart grid applications," in *Innovative Smart Grid Technologies (ISGT), IEEE PES*, pp. 1-8, 2012.
 - [7] B. Falahati, F. Yong, and W. Lei, "Reliability Assessment of Smart Grid Considering Direct Cyber-Power Interdependencies," *Smart Grid, IEEE Transactions on*, vol. 3, pp. 1515-1524, 2012.
 - [8] Y. Yang, T. Littler, S. Sezer, K. McLaughlin, and H. F. Wang, "Impact of cyber-security issues on Smart Grid," in *Innovative Smart Grid Technologies (ISGT Europe), 2011 2nd IEEE PES International Conference and Exhibition on*, pp. 1-7, 2011.
 - [9] B. Falahati and F. Yong, "Reliability Assessment of Smart Grids Considering Indirect Cyber-Power Interdependencies," *Smart Grid, IEEE Transactions on*, vol. 5, pp. 1677-1685, 2014.
 - [10] O. Gomez, C. Portilla, and M. A. Rios, "Reliability Analysis of Substation Monitoring Systems Based on Branch PMUs," *Power Systems, IEEE Transactions on*, vol. 30, pp. 962-969, 2015.
 - [11] B. Falahati, F. Yong, and M. J. Mousavi, "Reliability Modeling and Evaluation of Power Systems With Smart Monitoring," *Smart Grid, IEEE Transactions on*, vol. 4, pp. 1087-1095, 2013.
 - [12] M. G. Lauby, J. J. Bian, and A. D. Slone, "State of bulk power system reliability," in *Power and Energy Society General Meeting (PES), IEEE*, pp. 1-5, 2013.
 - [13] "Reliability fundamentals of system protection," *NERC, Report to the Planning Committee*, Dec. 2010.
- [۱۴] امیر رضا حسنی آهنگر، حامد هاشمی، حسین عسکریان ایانه، "آالیز حساسیت تأثیر سیستم سایبری (کنترل، مانیتورینگ و حفاظت) نسبت به ضربی نفوذ منابع تولید پراکنده بر روی قابلیت اطمینان شبکه های هوشمند،" نهمین کنفرانس تخصصی حفاظت و کنترل سیستم های قدرت، ۲۰۱۵.